

APPROXIMATION NUMERIQUE ET OPTIMISATION

G. ALLAIRE

2 Octobre 2018

CHAPITRE III (fin)

- ☞ Problèmes d'évolution, résolution pratique.
- ☞ Problèmes aux valeurs propres, résolution pratique.
- ☞ Algorithmes pour le calcul de valeurs et vecteurs propres.

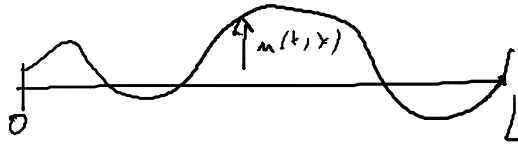
Equation de la chaleur

Soit un terme source $f(t, x)$ et une donnée initiale $u_0(x)$. On cherche la solution $u(t, x)$ de

$$\left\{ \begin{array}{ll} \frac{\partial u}{\partial t} - \nu \frac{\partial^2 u}{\partial x^2} = f & \text{pour } x \in (0, L) \text{ et } t > 0 \\ u(t, 0) = u(t, L) = 0 & \text{pour } t > 0 \\ u(t = 0, x) = u_0(x) & \text{dans } (0, L) \end{array} \right.$$

avec $L > 0$ et $\nu > 0$.

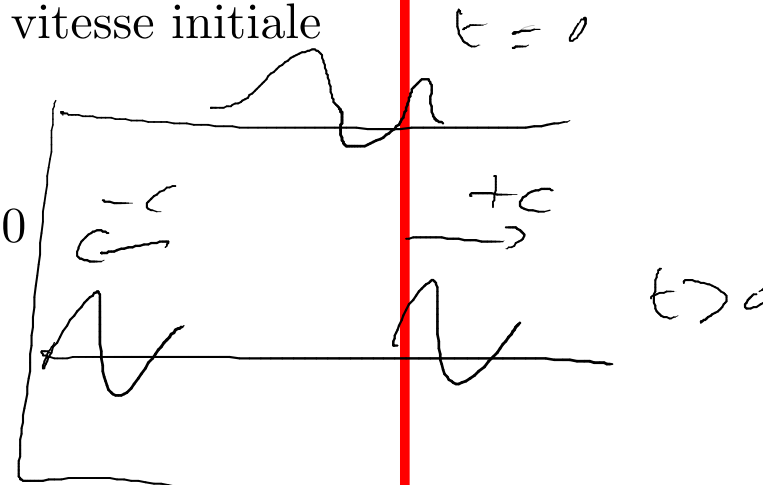
Equation des cordes vibrantes



Equation des ondes

Soit un terme source $f(t, x)$, une position initiale $u_0(x)$ et une vitesse initiale $u_1(x)$. On cherche la solution $u(t, x)$ de

$$\begin{cases} \frac{\partial^2 u}{\partial t^2} - c^2 \frac{\partial^2 u}{\partial x^2} = f & \text{pour } x \in (0, L) \text{ et } t > 0 \\ u(t, 0) = u(t, L) = 0 & \text{pour } t > 0 \\ u(t = 0, x) = u_0(x) & \text{dans } (0, L) \\ \frac{\partial u}{\partial t}(t = 0, x) = u_1(x) & \text{dans } (0, L) \end{cases}$$



avec $L > 0$ et $c > 0$ (la vitesse de propagation)
 Cas particulier on remplace $(0, L)$ par \mathbb{R} et $f = 0$
 Equation $\Rightarrow \left(\frac{\partial}{\partial t} - c \frac{\partial}{\partial x} \right) \left(\frac{\partial}{\partial t} + c \frac{\partial}{\partial x} \right) u = 0$

toutes les solutions
 $u(t, x) = v_+(x - ct) + v_-(x + ct)$

Formulation variationnelle

Idée principale: on écrit une formulation variationnelle avec des fonctions tests **qui ne dépendent pas du temps**.

Conséquences:

- ☞ On utilisera des **éléments finis** en espace.
- ☞ On fera des **différences finies** en temps.

Formulation variationnelle en 1-d

Equation de la chaleur:

$$(C) \quad \begin{cases} \frac{\partial u}{\partial t} - \nu \frac{\partial^2 u}{\partial x^2} = f & \text{dans } (0, L) \times \mathbb{R}_*^+ \\ u(t, 0) = u(t, L) = 0 & \text{pour } t > 0 \\ u(t = 0, x) = u_0(x) & \text{dans } (0, L) \end{cases}$$

Formulation variationnelle: pour tout $t > 0$, trouver $u(t, \cdot) \in V_0 = \{\phi \in C^1[0, L] \text{ tel que } \phi(0) = \phi(L) = 0\}$ qui vérifie $\forall \phi \in V_0$

$$(FV) \quad \int_0^L \frac{\partial u}{\partial t}(t, x) \phi(x) dx + \nu \int_0^L u'(t, x) \phi'(x) dx = \int_0^L f(t, x) \phi(x) dx$$

avec $u'(t, x) = \frac{\partial u}{\partial x}(t, x)$ et la condition initiale $u(0, x) = u_0(x)$.

Proposition. On suppose que $f(t, x)$ et $u_0(x)$ sont continues. Soit $u(t, x) \in C^2(\mathbb{R}^+ \times [0, L])$. Alors u est solution de (C) si et seulement si u est solution de (FV).

Démonstration.

(C) \Rightarrow (FV)

$$\int_0^L \left(\frac{\partial u}{\partial t} - v \frac{\partial^2 u}{\partial x^2} = f \right) \times \varphi \, dx \quad \text{avec } \varphi(x) \in V_0$$

$$\int_0^L \frac{\partial u}{\partial t} \varphi \, dx + v \int_0^L \frac{\partial u}{\partial x} \frac{\partial \varphi}{\partial x} \, dx = \int_0^L f \varphi \, dx \quad \text{et } u(0, x) = u^0(x)$$

on fait l'intégration dans l'autre sens

(FV) \Rightarrow (C)

$$\Rightarrow \frac{\partial u}{\partial t} - v \frac{\partial^2 u}{\partial x^2} = f$$

les conditions limites dérivent $u(t, \cdot) \in V_0 \quad \forall t > 0$

Et en plus $u(0, x) = u^0(x)$

Formulation variationnelle en 1-d

Equation des ondes:

$$(O) \quad \begin{cases} \frac{\partial^2 u}{\partial t^2} - c^2 \frac{\partial^2 u}{\partial x^2} = f & \text{dans } (0, L) \times \mathbb{R}_*^+ \\ u(t, 0) = u(t, L) = 0 & \text{pour } t > 0 \\ u(t = 0, x) = u_0(x) & \text{dans } (0, L) \\ \frac{\partial u}{\partial t}(t = 0, x) = u_1(x) & \text{dans } (0, L) \end{cases}$$

Formulation variationnelle: pour tout $t > 0$, trouver $u(t, \cdot) \in V_0 = \{\phi \in C^1[0, L] \text{ tel que } \phi(0) = \phi(L) = 0\}$ qui vérifie $\forall \phi \in V_0$

$$(FV) \quad \int_0^L \frac{\partial^2 u}{\partial t^2}(t, x) \phi(x) dx + c^2 \int_0^L u'(t, x) \phi'(x) dx = \int_0^L f(t, x) \phi(x) dx$$

avec $u' = \frac{\partial u}{\partial x}$ et les conditions initiales $u(0, x) = u_0(x)$, $\frac{\partial u}{\partial t}(0, x) = u_1(x)$.

Proposition. On suppose que $f(t, x)$, $u_1(x)$ et $u_0(x)$ sont continues. Soit $u(t, x) \in C^2(\mathbb{R}^+ \times [0, L])$. Alors u est solution de (O) si et seulement si u est solution de (FV).

Démonstration.

Point de vue abstrait

On introduit les formes bilinéaires (désormais $\nu = c^2 = 1$)

$$a(u, \phi) = \int_0^L u'(x) \phi'(x) dx \quad \text{et} \quad \langle u, \phi \rangle_{L^2(\Omega)} = \int_0^L u(x) \phi(x) dx$$

Formulation variationnelle de la chaleur: trouver $u(t)$ fonction de $[0, T]$ à valeurs dans V_0 telle que

$$\begin{cases} \frac{d}{dt} \langle u(t), \phi \rangle_{L^2(\Omega)} + a(u(t), \phi) = \langle f(t), \phi \rangle_{L^2(\Omega)} & \forall \phi \in V_0, \quad 0 < t < T, \\ u(t=0) = u_0. \end{cases}$$

Formulation variationnelle des ondes: trouver $u(t)$ fonction de $[0, T]$ à valeurs dans V_0 telle que

$$\begin{cases} \frac{d^2}{dt^2} \langle u(t), \phi \rangle_{L^2(\Omega)} + a(u(t), \phi) = \langle f(t), \phi \rangle_{L^2(\Omega)} & \forall \phi \in V_0, \quad 0 < t < T, \\ u(t=0) = u_0, \quad \frac{du}{dt}(t=0) = u_1. \end{cases}$$

Approximation variationnelle

On remplace l'espace V_0 par un sous-espace V_0^h de dimension finie.

Approximation variationnelle interne de la chaleur: trouver

$u_h(t) : [0, T] \rightarrow V_0^h$ tel que

$$\begin{cases} \frac{d}{dt} \langle u_h(t), \phi_h \rangle_{L^2(\Omega)} + a(u_h(t), \phi_h) = \langle f(t), \phi_h \rangle_{L^2(\Omega)} & \forall \phi_h \in V_0^h, \quad 0 < t < T, \\ u_h(t=0) = u_h^0. \end{cases}$$

avec $u_h^0(x) \in V_0^h$ une approximation de $u_0(x)$.

Lemme. On suppose que la forme bilinéaire est **coercive**

$$\exists \nu > 0 \text{ tel que } a(v, v) \geq \nu \|v\|^2 \quad \forall v \in V.$$

Alors il existe une unique solution de l'approximation variationnelle interne qui, de plus, s'obtient en résolvant un **système linéaire d'équations différentielles ordinaires**.

dim $V^h < +\infty$
 Soit une base $(\varphi_i)_{1 \leq i \leq m}$

Démonstration

on cherche la solution $u_h(t, x) = \sum_{i=1}^m v_i(t) \varphi_i(x)$

$$\frac{d}{dt} \left(\int_0^L u_h P_R dx \right) + \int_0^L \frac{\partial u_h}{\partial x} \frac{\partial P_R}{\partial x} dx = \int_0^L f P_R dx$$

$$\varphi_R = \varphi_j(x) \Rightarrow \sum_{i=1}^m v_i'(t) \int_0^L \varphi_i \varphi_j dx + \sum_{i=1}^m v_i(t) \int_0^L \varphi_i' \varphi_j' dx = \int_0^L f \varphi_j dx$$

matrice de rigidité $K_h = \left(\int_0^L \varphi_i' \varphi_j' dx \right)_{1 \leq i, j \leq m}$

matrice de masse $M_h = \left(\int_0^L \varphi_i \varphi_j dx \right)_{1 \leq i, j \leq m}$

vecteur $b(t) = \left(\int_0^L f(t, x) \varphi_j(x) dx \right)_{1 \leq j \leq m}$

$$\Rightarrow \begin{cases} M_h \frac{dV}{dt} + K_h V = b(t) \\ V(0) = V_0 \end{cases}$$

avec V_0 les coefficients d'une approximation de $u_0(x)$ dans V^h .

la matrice M_h est inversible car

$$M_h V \cdot V = \int_0^L \left(\sum_{i=1}^m v_i \varphi_i(x) \right)^2 dx = \left\| \sum_{i=1}^m v_i \varphi_i(x) \right\|_{L^2(0, L)}^2 \geq c \|V\|^2$$

$\Rightarrow \forall v \neq 0, M_h v \neq 0$

Définitions

On appelle **matrice de masse**

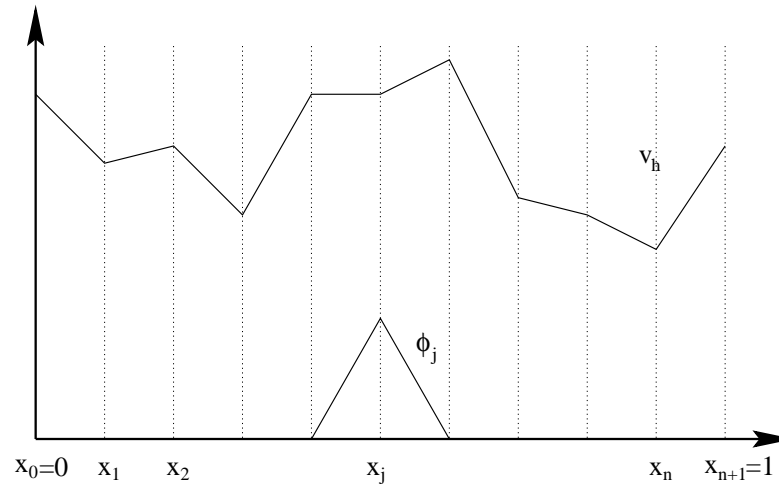
$$\mathcal{M}_h = \left(\int_0^L \phi_i(x) \phi_j(x) dx \right)_{1 \leq i, j \leq N}$$

On appelle **matrice de rigidité**

$$\mathcal{K}_h = \left(\int_0^L \phi'_i(x) \phi'_j(x) dx \right)_{1 \leq i, j \leq N}$$

avec $(\phi_i)_{1 \leq i \leq N}$ base de V_0^h .

Eléments finis \mathbb{P}_1 de Lagrange



$$h = \frac{1}{m+1}$$

$$x_j = jh$$

$$0 \leq j \leq m+1$$

$$\phi_j(x) = \varphi\left(\frac{x-x_j}{h}\right)$$

$$\varphi(x) = \begin{cases} 1-|x| & \text{si } |x| \leq 1 \\ 0 & \text{sinon} \end{cases}$$

Lemme. Dans ce cas la matrice de masse \mathcal{M}_h est

$$\mathcal{M}_h = h \begin{pmatrix} 2/3 & 1/6 & & & 0 \\ 1/6 & 2/3 & 1/6 & & \\ & \ddots & \ddots & \ddots & \\ & & 1/6 & 2/3 & 1/6 \\ 0 & & & 1/6 & 2/3 \end{pmatrix}.$$

Condensation de masse

Si on utilise la formule de quadrature "des trapèzes", alors on trouve que

$$\mathcal{M}_h \approx h \text{Id}$$

On appelle cette procédure la **condensation de masse** ou "mass-lumping".

$$\int_{x_j}^{x_{j+1}} \theta(x) dx \approx \frac{h}{2} (\theta(x_{j+1}) + \theta(x_j))$$

$$\int \varphi_i \varphi_j dx \approx h \delta_{ij}$$

Discrétisation totale en espace-temps

L'approximation variationnelle interne conduit à

$$\mathcal{M}_h \frac{dU}{dt}(t) + \mathcal{K}_h U(t) = b(t)$$

pour l'équation de la chaleur et à

$$\mathcal{M}_h \frac{d^2U}{dt^2}(t) + \mathcal{K}_h U(t) = b(t)$$

pour l'équation des ondes (+ conditions initiales).

On fait des **différences finies** pour les dérivées en temps.

Pas de temps $\Delta t > 0$ et temps discrets $t_n = n\Delta t$.

Equation de la chaleur

Schéma d'Euler explicite (stable sous condition CFL)

$$\mathcal{M} \frac{U^{n+1} - U^n}{\Delta t} + \mathcal{K}U^n = b^n$$

Schéma d'Euler implicite (stable sans condition)

$$\mathcal{M} \frac{U^{n+1} - U^n}{\Delta t} + \mathcal{K}U^{n+1} = b^{n+1}$$

En éléments finis, on préfère généralement les schémas implicites (quitte à résoudre un système linéaire pour \mathcal{M} autant le faire pour $\mathcal{M} + \Delta t\mathcal{K}$).

Equation des ondes

Pour $0 \leq \theta \leq 1/2$ on propose le θ -schéma

$$\begin{aligned} \mathcal{M} \frac{U^{n+1} - 2U^n + U^{n-1}}{(\Delta t)^2} + \mathcal{K} (\theta U^{n+1} + (1 - 2\theta)U^n + \theta U^{n-1}) \\ = \theta b(t_{n+1}) + (1 - 2\theta)b(t_n) + \theta b(t_{n-1}). \end{aligned}$$

Initialisation: $U^0 = U_0$ et $\frac{U^1 - U^0}{\Delta t} = U_1$.

$\theta = 0$ schéma explicite, stable sans condition CFL
 $\theta > \frac{1}{4}$ schéma implicite, stable sans condition

Problème aux valeurs propres

On cherche les couples $(\lambda, u) \in \mathbb{R} \times C^2(0, L)$, avec $u \neq 0$, solutions de

$$\begin{cases} -u'' = \lambda u & \text{dans } (0, L) \\ u(0) = u(L) = 0 \end{cases} \quad \mu \equiv u(x)$$

Le réel λ est appelé **valeur propre**, et la fonction $u(x)$ **mode propre** ou **fonction propre**.

Motivation: on cherche les solutions d'équations d'évolution par séparation des variables $\mathbf{u}(t, x) = \phi(t) u(x)$.

Equation de la chaleur

$$\frac{\partial u}{\partial t} - \nu \frac{\partial^2 u}{\partial x^2} = 0 \quad \text{et} \quad u(t, x) = \phi(t) u(x)$$

$$\Rightarrow \phi' u - \nu \phi u'' = 0 \quad \Leftrightarrow \quad \frac{\phi'(t)}{\phi(t)} = \nu \frac{u''(x)}{u(x)} = \text{cte} = -\nu \lambda \quad \Leftrightarrow \quad u'' = -\lambda u$$

$$\phi' = -\nu \lambda \phi \quad t \geq 0 \quad \Leftrightarrow \quad \boxed{\phi(t) = \phi(0) e^{-\nu \lambda t}}$$

si $\lambda \geq 0$, solution décroissante exponentiellement

Equation des ondes

$$\frac{\partial^2 u}{\partial t^2} - c^2 \frac{\partial^2 u}{\partial x^2} = 0 \quad \text{et} \quad u(t, x) = \phi(t) u(x)$$

$$\Rightarrow \phi'' u - c^2 \phi u'' = 0 \quad \Leftrightarrow \quad \frac{\phi''}{\phi} = c^2 \frac{u''}{u} = \text{cte} = -c^2 \lambda \quad \Leftrightarrow \quad u'' = -\lambda u$$

$$\Leftrightarrow \begin{cases} \phi'' + \lambda c^2 \phi = 0 \\ \phi(0) \text{ et } \phi'(0) \end{cases} \quad \Rightarrow \quad \phi(t) = A \cos(c\sqrt{\lambda}t) + B \sin(c\sqrt{\lambda}t)$$

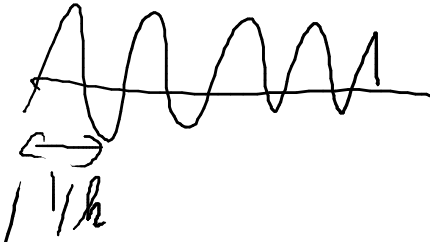
si $\lambda \geq 0$ alors

Exercice

Les solutions non triviales de

$$\begin{cases} -u'' = \lambda u & \text{dans } (0, L) \\ u(0) = u(L) = 0 \end{cases}$$

sont, pour $k \in \mathbb{N}^*$, $\lambda_k = (\pi k/L)^2$ et $u_k(x) = \sin(\pi kx/L)$.



\bar{a} un coeff multiplicatif pos

Si $\lambda < 0$
 $\lambda = -\omega^2$ $u'' - \omega^2 u = 0 \Leftrightarrow u = A e^{\omega t} + B e^{-\omega t}$

$$u(0) = 0 \Rightarrow A + B = 0 \Rightarrow A = -B$$

$$u(L) = 0 \Rightarrow A e^{\omega L} + B e^{-\omega L} = 0$$

$$\Rightarrow A = B = 0$$

Si $\lambda \geq 0$
 $\lambda = \omega^2$ $u'' + \omega^2 u = 0 \Leftrightarrow u = A \cos \omega t + B \sin \omega t$

$$u(0) = 0 \Rightarrow A = 0$$

$$u(L) = 0 \Rightarrow \sin \omega L = 0 \Leftrightarrow$$

$$\omega L = k\pi \quad k \in \mathbb{N}^*$$

$$\omega^2 = \lambda = \left(\frac{k\pi}{L}\right)^2$$

$$\begin{cases} -u'' = \lambda u & \text{dans } (0, L) \\ u(0) = u(L) = 0 \end{cases}$$

$$\text{Soit } V_0 = \{ \varphi \in C^1[0, L] \text{ tq } \varphi(0) = \varphi(L) = 0 \}$$

$$(FV) : \text{trouver } u \in V_0 \text{ et } \lambda \in \mathbb{R} \text{ tel que}$$

$$\int_0^L u' \varphi' dx = \lambda \int_0^L u \varphi dx \quad \forall \varphi \in V_0$$

Soit $V_0^h \subset V_0$ et $\dim V_0^h < +\infty$

Discrétisation

$$\text{trouver } u_h \in V_0^h \text{ et } \lambda_h \in \mathbb{R} \text{ tq}$$

$$\int_0^L u_h' \varphi_h' dx = \lambda_h \int_0^L u_h \varphi_h dx \quad \forall \varphi_h \in V_0^h$$

Soit $(\varphi_i)_{i=1, \dots, m}$ base de V_0^h

$$u_h(x) = \sum_{i=1}^m u_i \varphi_i(x)$$

1. Formulation variationnelle
2. Approximation variationnelle interne
3. Éléments finis \mathbb{P}_1 de Lagrange

On obtient un problème **matriciel** aux valeurs propres: trouver $\lambda \in \mathbb{R}$, $U \in \mathbb{R}^N$, $U \neq 0$

$$K_h U = \lambda M_h U$$

Lemme. Les matrices K et M étant symétriques, définies positives, il existe N valeurs propres et vecteurs propres formant une base de \mathbb{R}^N .

On ne calcule que N valeurs propres correspondants aux plus basses fréquences propres.

On ne fait pas voir sur le maillage les oscillations de $\sin \frac{\pi h x}{L}$ pour h grand!

Algorithmes pour le calcul de valeurs et vecteurs propres

Méthode de la puissance pour calculer la plus grande valeur propre d'une matrice K .

Nous faisons l'hypothèse que K est symétrique réelle, de valeurs propres $(\lambda_1, \dots, \lambda_n)$ et de vecteurs propres (e_1, \dots, e_n) , et qu'il existe une valeur propre dominante simple

$$\lambda_n > |\lambda_i| \quad \text{pour tout } 1 \leq i \leq n - 1.$$

Algorithme

1. Initialisation: $x_0 \in \mathbb{R}^n$ tel que $x_0 \cdot e_n \neq 0$ et $\|x_0\| = 1$.
2. Itérations: pour $k \geq 1$
 1. $y_k = Kx_{k-1}$
 2. $x_k = y_k / \|y_k\|$
 3. test de convergence: si $\|x_k - x_{k-1}\| \leq \varepsilon$, on arrête.

Dans le test de convergence, ε est typiquement égal à 10^{-6} .

Si $\delta_k = x_k - x_{k-1}$ est petit, alors x_k est un vecteur propre approché de K de valeur propre approchée $\|y_k\|$ car

$$Kx_k - \|y_k\|x_k = K\delta_k \approx 0.$$

Proposition. Si la matrice K est symétrique réelle et admet une unique valeur propre dominante, alors la méthode de la puissance converge, c'est-à-dire que

$$\lim_{k \rightarrow +\infty} \|y_k\| = \lambda_n, \quad \lim_{k \rightarrow +\infty} x_k = \pm e_n.$$

De plus, la vitesse de convergence est proportionnelle au rapport $|\lambda_{n-1}|/\lambda_n$.

Preuve. Rappelons que K est diagonalisable dans la base orthonormée des vecteurs propres (e_1, \dots, e_n) correspondant aux valeurs propres $(\lambda_1, \dots, \lambda_n)$. Soit $x_0 = \sum_{i=1}^n \beta_i e_i$ le vecteur initial avec $\beta_n \neq 0$. Une récurrence facile montre que

$$x_k = \frac{K^k x_0}{\|K^k x_0\|} = \frac{\sum_{i=1}^n \beta_i (\lambda_i)^k e_i}{\sqrt{\sum_{i=1}^n \beta_i^2 (\lambda_i)^{2k}}} = \text{sign}(\beta_n) \frac{e_n + \sum_{i=1}^{n-1} \frac{\beta_i}{\beta_n} \left(\frac{\lambda_i}{\lambda_n}\right)^k e_i}{\sqrt{1 + \sum_{i=1}^{n-1} \frac{\beta_i^2}{\beta_n^2} \left(\frac{\lambda_i}{\lambda_n}\right)^{2k}}}.$$

Comme $|\lambda_i| < \lambda_n$, x_k converge vers $\pm e_n$. Comme $y_k = K x_k$ converge vers $\pm \lambda_n e_n$, on en déduit que $\|y_k\|$ converge vers λ_n .

Algorithme de la puissance “inverse”

But: calculer la **plus petite** valeur propre d’une matrice A .

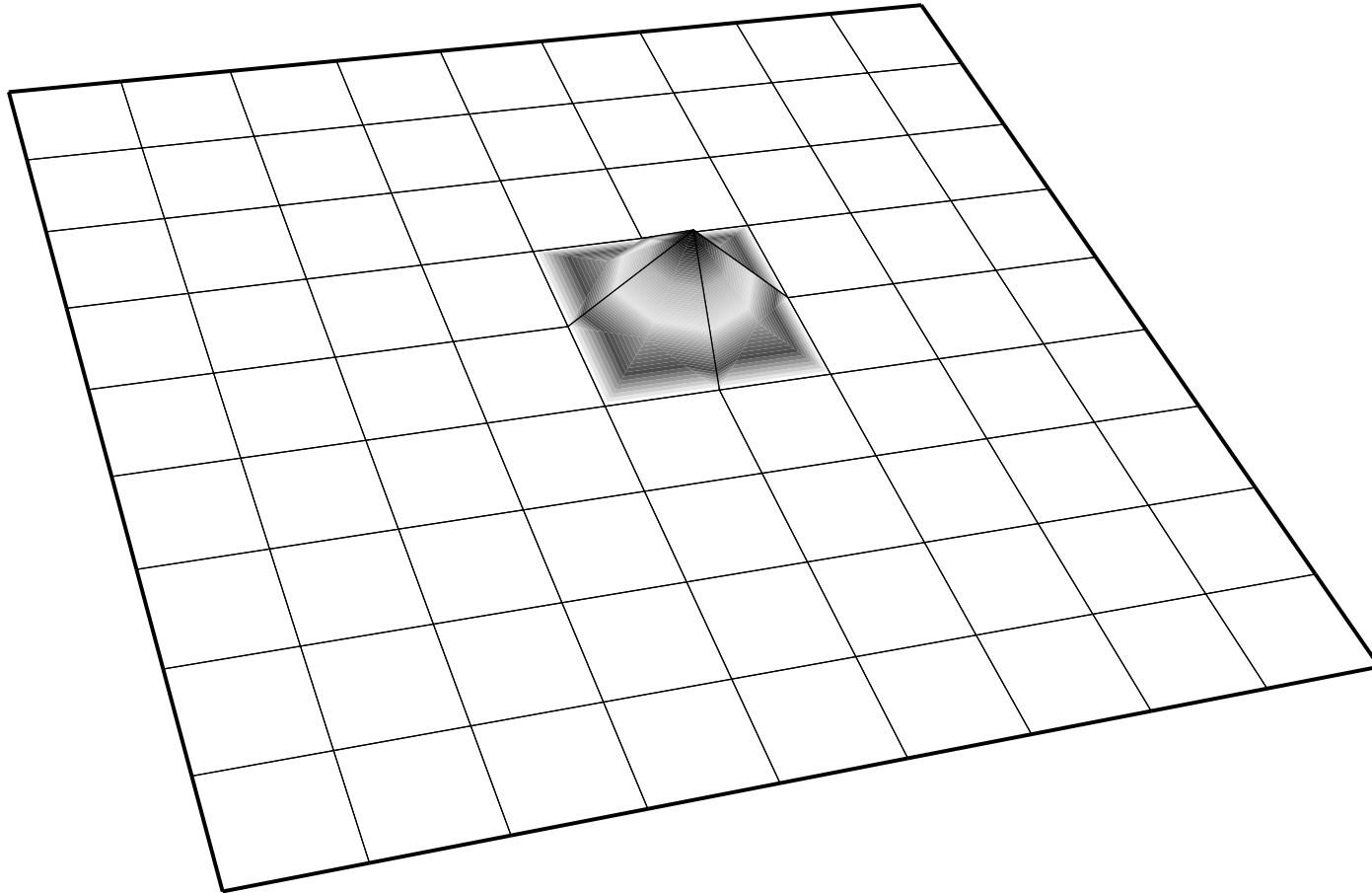
1. Initialisation: $x_0 \in \mathbb{R}^n$ tel que $x_0 \cdot e_1 \neq 0$.
2. Itérations: pour $k \geq 1$
 1. résoudre $Ay_k = x_{k-1}$
 2. $x_k = y_k / \|y_k\|$
 3. test de convergence: si $\|x_k - x_{k-1}\| \leq \varepsilon$, on arrête.

Si $\delta_k = x_k - x_{k-1}$ est petit, alors x_{k-1} est un vecteur propre approché de valeur propre approchée $1/\|y_k\|$ car

$$Ax_{k-1} - \frac{x_{k-1}}{\|y_k\|} = -A\delta_k.$$

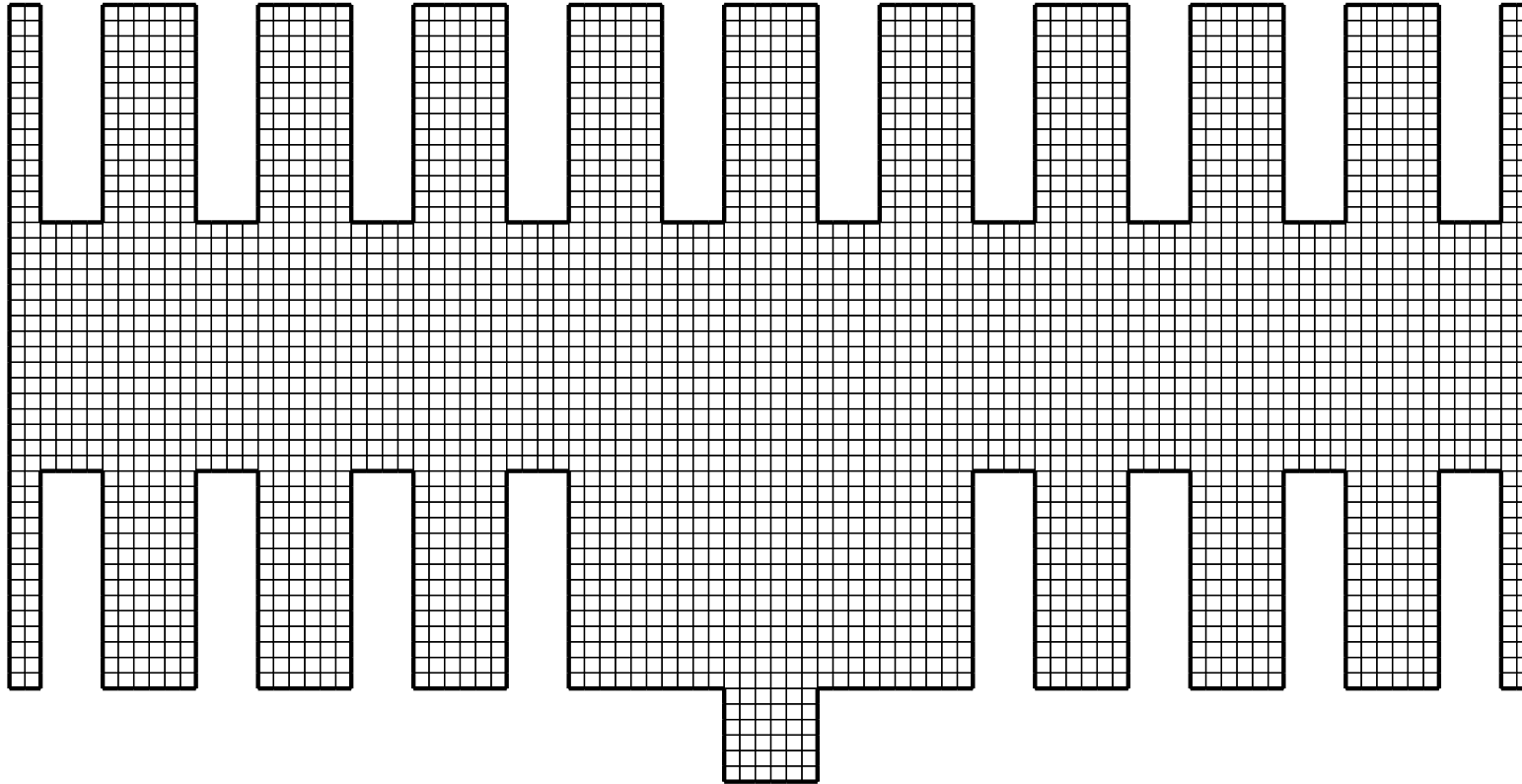
Ouverture vers les dimensions supérieures

- ☞ Toujours l'idée fondamentale: formulation variationnelle.
- ☞ Plus de maths ! Espaces de Sobolev.
- ☞ Gros avantage: maillage de géométrie quelconque.
- ☞ Éléments finis de Lagrange: représentation d'une fonction par ses valeurs aux noeuds.

Elements finis rectangulaires Q_1 

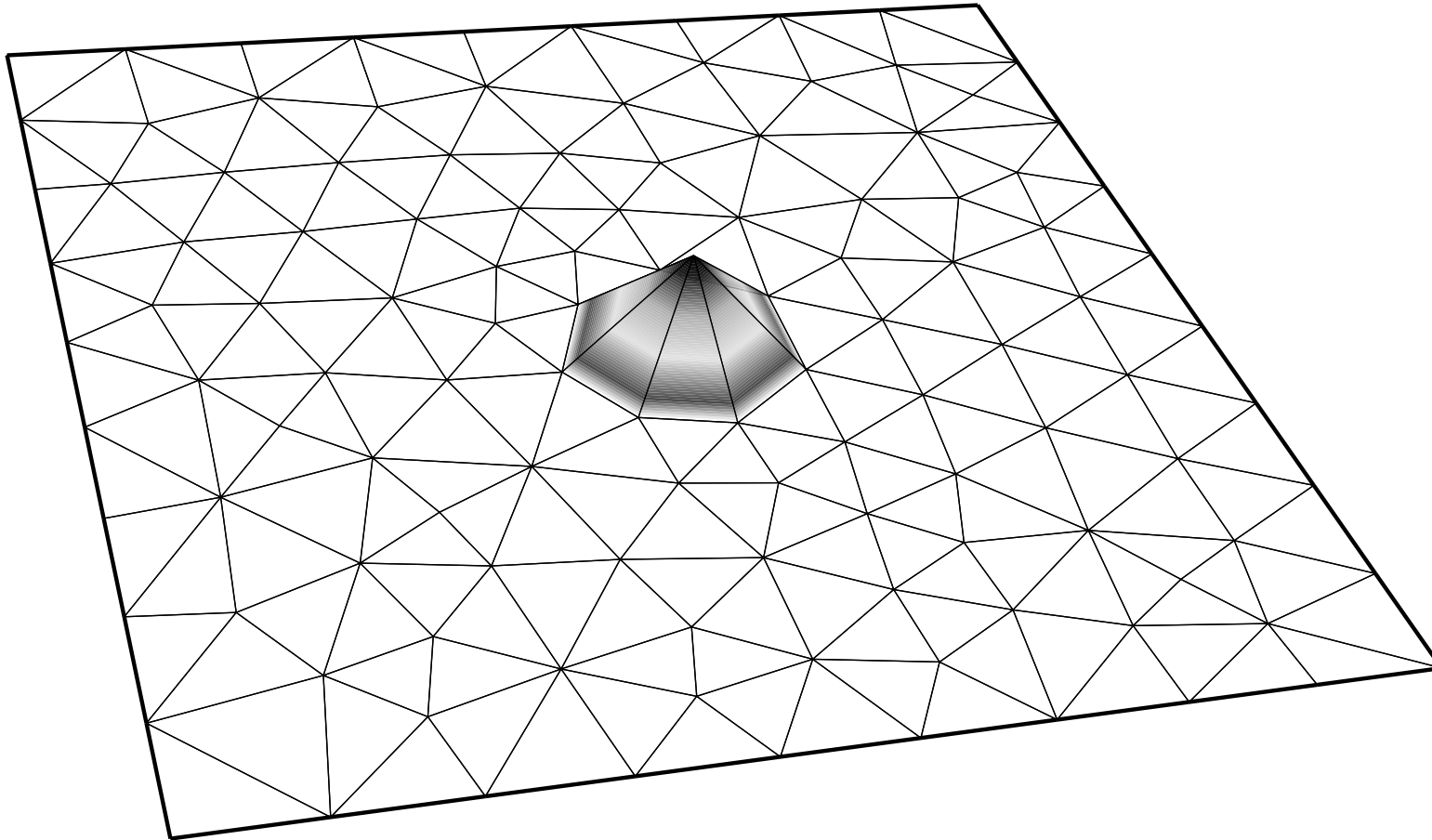
Fonctions de base obtenues par tensorisation $1 - d \times 1 - d$:

$$p(x) = (a_1 + b_1x_1)(a_2 + b_2x_2) = \alpha_0 + \alpha_1x_1 + \alpha_2x_2 + \alpha_3x_1x_2.$$



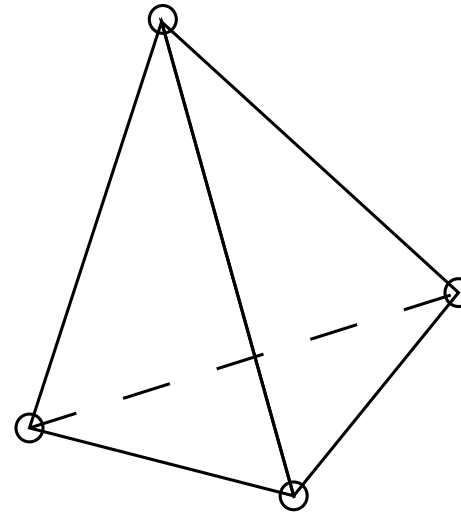
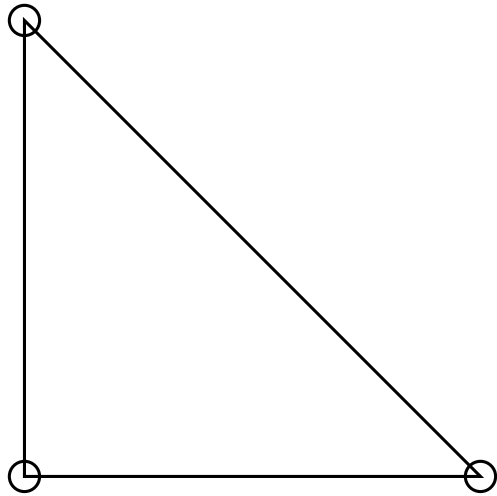
Forte restriction des domaines que l'on peut mailler par des rectangles.

Elements finis triangulaires \mathbb{P}_1



Fonctions de base affines par maille: $p(x) = \alpha_0 + \alpha_1 x_1 + \alpha_2 x_2$.

Mailles



Les mailles sont des simplexes (triangles en 2-D, tétraèdres en 3-D).

